

世界华人消化杂志[®]

WORLD CHINESE JOURNAL OF DIGESTOLOGY

Shijie Huaren Xiaohua Zazhi

2003年11月15日 第11卷 第11期 (Volume 11 Number 11)



11/2003

ISSN 1009-3079



9 771009 307001

名誉总编辑

潘伯荣

总编辑

马连生

'World Journal of Gastroenterology' 在 SCI-E, Research Alert*, Current Contents/Clinical Medicine, Journal Citation Reports* Index Medicus, MEDLINE, Chemical Abstracts, EMBASE/Excerpta Medica 收录。2002 年 JCR* 报告 WJG 影响因子 2.532。世界华人消化杂志*被 Chemical Abstracts, EMBASE/Excerpta Medica 收录。2001 年中国科技期刊引证报告: 世界华人消化杂志*影响因子 3.733, WJG 影响因子 2.920。

世界华人消化杂志

Shijie Huaren Xiaohua Zazhi

● 目 次 ●

2003年11月15日 第11卷 第11期 (总第115期)

述 评	1661 创办具有中国特色的国际先进水平的WJG: 2004年由月刊改为半月刊 马连生, 潘伯荣, 马景云, 徐家裕, 伍协宁, 王先林, 陆汉明, 夏华向, 张建中, 苏勤, 任师颜, 朱立, 朱丽虹, 吕有勇 1665 细胞分化与食管鳞状细胞癌 孔建华, 刘芝华, 吴昱 1670 轮状病毒感染机制研究进展 王大燕, 王健伟, 于修平, 洪涛
肝 癌	1674 小鼠甲胎蛋白基因的克隆真核表达载体构建及表达鉴定 田耕, 易维林 1677 原发性肝细胞癌中 PTTG 和 c-myc 基因表达的研究 金中元, 程瑞雪, 郑长黎, 郑晖 1682 肝细胞癌变过程中 cyclin D1 的异常表达与端粒酶活性的相关分析及意义 李宝杰, 王新红, 曲波 1686 HCC 合并阻塞性黄疸 ERCP164 例 薛彪, 潘亚敏, 沈丽, 胡冰, 吴萍, 王书智, 周岱云
基础研究	1690 胚胎细胞 Smed4 反义基因转移及对细胞外基质合成的抑制作用 徐新保, 冷希圣, 何振平, 梁志清 1694 冷保存再灌注期间离体肝组织内钙自由基及 $[Ca^{2+}]_i$ 对 p38MAPK 激活的影响 王雨, 田庆湖, 汤礼军, 张晓琳 1699 大黄素对大鼠结肠环行平滑肌细胞 $[Ca^{2+}]_i$ 的影响 马涛, 齐清会, 简序, 费乃昕 1703 大肠癌细胞可产生趋化因子 IP-10 杨春康, 陈道达, 田源, 张景辉 1706 吲哚美辛对野生型 p53 转染的结肠癌细胞株 SW480 的影响 张桂英, 徐美华, 谢兆霞, 何春梅 1711 大鼠胃黏膜损伤修复时早期应答基因 c-Jun 及 c-met 的表达 姚永莉, 徐波, 宋子刚, 张万岱
临床研究	1715 功能性消化不良患者症状分型、胃排空功能、胃肠激素水平的相关性 唐红卫, 黄裕新, 徐海峰, 高巍, 周润林, 高晶, 王庆莉, 高峰, 安晓丽 1720 肝硬化患者血清和腹水 CA125 升高 肖文斌, 刘玉兰 1723 α -2b 干扰素治疗慢性乙型肝炎的前瞻性研究 熊锦华, 胡大荣, 张成平, 范公恩, 刘勇, 闻炜
焦点论坛	1727 胃干细胞 三天佑, 展玉涛 1730 肠道干细胞 姜佳丽, 王虹, 展玉涛 1732 胃肠道间充质母细胞 王虹, 展玉涛 1735 肝脏干细胞 展玉涛, 任继萍 1738 肝脏卵圆细胞 展玉涛, 华春山 1740 胸腺干细胞 姜佳丽, 万小平, 张琳, 展玉涛
文献综述	1743 乙型肝炎病毒 e 抗原阴性慢性乙型肝炎患者抗病毒治疗 董青, 成军 1749 HGF/SF、c-met 基因信号异常与胃肠道恶性肿瘤 李宏武, 单吉贤 1752 幽门螺旋杆菌对胃肠道激素的影响 郭兰, 郭霞, 姚希贤 1755 胃癌组织生长抑素及其受体的表达对 EGF、VEGF 的影响 李秋萍, 徐军全, 李红梅, 张利华 1760 结、直肠癌临床病理分期系统及其临床意义 御三华 1764 针灸机理及其纳米化前景 何萍, 吕凤林, 任建航, 何凤慈 1769 RNA 干扰的抗病毒效应 奉中, 范学工 1773 Peutz-Jeghers 综合征 赵喜荣, 康连春, 吕有勇 1777 食管癌中的等位基因缺失 李洁, 刘芝华 1782 溃疡性结肠炎发病机制及其研究进展 周峰, 林平, 潘慧, 梅林 1787 蛋白酶激活受体-2 与胃黏膜疾病的研究进展 朱雄伟, 王强, 钟先保, 李光申
研究快报	1793 轮状病毒胃肠炎与表皮生长因子关系初步研究 吴建春, 姚英民 1794 尿毒症患者血透前后胃肌电活动的研究 武立群, 王虹, 顾清, 张锐, 李松扬 1796 消炎痛和幽门螺旋杆菌在胃溃疡致病中的相互作用研究 迟晶, 赵金满, 于继红, 傅宝玉 1797 原发性肝癌乙酰肝素酶 mRNA 的表达及其意义 陈晓鹏, 刘颖斌, 时开国, 彭淑牖, 彭承宏, 史留斌, 沈宏伟 1800 MDM2 基因扩增和蛋白表达与胃癌相关性的研究 孙利平, 李岩, 张宁, 姜乃佳, 付伟, 薛一雷 1802 HBsAg 疫苗对非溶细胞性和溶细胞性细胞免疫应答的影响 熊一力, 贾彦征, 施理, 张宜俊

研究快报

1804 P27kip1、CyclinE 和 CyclinA 在胃癌中的表达及意义 金顺花, 朴熙培, 金海峰, 朴凤顺, 许强
1807 血管紧张素 II 对大鼠 HSC 合成 PAI-1 的影响及 NO 的干预作用 张晶, 李定国, 尤汉宁, 刘清华, 宗春华, 陆汉明

临床经验

- 1809 TFF1 在正常及损伤胃黏膜中的表达改变 任建林, 卢雅正, 王琳, 陈建民, 施华秀, 叶震世, 吴艳环, 钟燕, 林进汀, 林辉, 潘金水, 罗金燕
1811 肝性脊髓病 8 例 王春平, 冯永毅, 苏淑慧, 李迎新, 彭晓君
1812 直肠癌药物敏感检测 102 例 魏寿江, 王崇树, 赵国刚, 侯华芳
1814 功能性消化不良患者胃排空障碍与胃肠激素的关系 何美蓉, 宋子刚, 何春容
1816 上消化道癌流行病学研究 黄中华
1818 胃液抗 *Hp* IgA 测定对 *Hp* 根除治疗效果的判断 谢勇, 吕农华, 黄德强, 陈江, 徐萍, 王崇文
1820 原发性十二指肠癌 16 例 谢薇, 刘之武, 王志川
1822 丙型肝炎病毒母婴传播及羊水、乳汁和唾液的作用 王占英, 牛美智, 姜学恒, 李颖, 朱光彦
1824 十二指肠憩室 120 例 吴江, 邓长生
1825 乙肝病毒感染相关原发性肝癌 320 例 苏淑慧, 王春平, 李迎新, 冯永毅
1827 胆管癌组织 p53 和血管内皮生长因子表达与血管生成的相关性研究 陈勇军, 俞正虹, 丁志强
1830 奥曲肽治疗肠梗阻 25 例 张长青, 张黎玲, 吴伟岗, 黄寅毅
1832 理学检查慢性胃十二指肠炎 280 例 谭元熙, 李增芬, 谭汇泉
1835 艾滋患者群中 HCV、HBV 及 HGV 的感染状况 赖嘉拉, 杜希恩, 庄柯
1837 胆心反射及胆心综合征的诊治 卫洪波, 汪壮流, 杨柳, 李文胜, 陈勇, 唐秋林
1839 陕西部分农村 0-18 月龄婴幼儿肠道内微生物菌群状况研究 孙晓魁, 刘黎明, 郝炳华, 高文方, 贾梅, Acheson K
1841 糖尿病患者胆囊排空功能与胃肠激素的关系 王艳军, 徐永泉, 林艳, 李士星
1843 慢性小肠型腹泻中的 IBS 吴杰, 邓昊, 贾业贵, 陈时
1844 矿区居民幽门螺杆菌感染状况及危险因素分析 雷静静, 周力, 谭玉洁, 杨斌, 刘星峰, 杜纪恩
1848 直视微创剖腹手术 52 例 姜海青, 周建刚, 储军

病例报告

- 1851 分流联合断流治疗小儿原发性门静脉海绵样变 1 例 方驰华, 朱新勇, 方石尚
1852 马内非青春期病 1 例 尹安, 温先保, 郭晓平, 彭国林
1853 腹腔积液 8 例 王平, 廖勇, 古敏, 刘子沛, 李晓鸥
1855 肾移植术后回肠结核并出血、梗阻 1 例报告 金红旭, 张雷峰, 王正强

读者来信

- 1698 徐新保
1705 Ferenc SZALAY

封面故事

- 1664 复方健脾益胃胶囊 II 期临床研究方案讨论会在福州举行

世界华人消化杂志

Shijie Huaren Xiaohua Zazhi

吴阶平 联席主编刊名

陈可冀 联席副主编刊名
(月刊)

创刊 1993-01-15

英文刊 1998-01-25

出版 2003-11-15

原刊名 新消化病学杂志

总顾问 陈可冀

黄家驷

黄志骚

蔡介寿

刘耕南

裘法祖

汤润叔

王宝恩

危北海

吴孟超

吴成中

社长总编辑

高连生

张学虎

赵东海

周殿元

潘伯仁

王理晖

朱丽虹

牛少华

李天华

编辑 世界华人消化杂志社委员会
030001, 山西省太原市双塔西街 77 号

E-mail: wejd@wjgnet.com

出版 世界华人消化杂志社

100023, 北京市 2345 信箱

E-mail: wcjd @ wjgnet.com

http://www.wjgnet.com

电话 (010)85381892

传真 (010)85381893

印制 北京科博印刷厂

发行 国内 北京报刊发行局

国外 中国国际图书贸易总公司

(100044, 北京 399 信箱)

订购 全国各地邮电局

邮购 世界华人消化杂志社发行部

(100023, 北京市 2345 信箱)

电话 (010)85381892

传真 (010)85381893

2003 年版权归世界华人消化杂志社所有

本刊已被国内外
检索系统收录

美国《化学文摘》(CA)

荷兰《医学文摘》(Medline)

俄罗斯《文摘杂志》(PKO)

中国科技论文统计与分析

中国学术期刊文摘

中国中医药信息服务网

中医生物医学文献光盘数据库

《中文科技资料目录·医药卫生》

中国生物医学期刊全文数据库

中国医学文摘外科学分册(英文版)

中医医学文摘内科学分册(英文版)

特别声明

本刊刊出的所有文章不代表世界华人
消化杂志社和本刊编委会的观点, 除
非特别声明, 本刊如有印装质量问题,
请向本刊编辑部投诉。

ISSN 1009-3079

邮发代号 26-262

国外代号 M 4481

国内定价 每期 24.00 元 全年 288.00 元

广告经营许可证

140100400

CN 14-1260/R

大黄素对大鼠结肠环行平滑肌细胞 $[Ca^{2+}]_i$ 的影响

马 涛, 齐清会, 简 序, 费乃昕

马涛, 齐清会, 简序, 费乃昕, 天津医科大学总医院 天津市 300052
马涛, 男, 1972-02-19生, 湖北省公安县人, 汉族, 1994年天津医科大学本科毕业, 2002年天津医科大学博士毕业, 助理研究员, 从事胃肠动力学研究.
国家自然科学基金资助, No. 30171198
项目负责人: 齐清会, 300052, 天津市和平区鞍山道154号, 天津医科大学总医院中西医结合外科. qiqinghui @ tpt.tj.cn
电话: 022-60362584
收稿日期: 2003-01-12 接受日期: 2003-07-15

Effects of emodin on intracellular Ca^{2+} signaling in the circular smooth muscle cells of rat colon

Tao Ma, Qing-Hui Qi, Xu Jian, Nai-Xin Fei

Tao Ma, Qing-Hui Qi, Xu Jian, Nai-Xin Fei, Department of Surgery, General Hospital of Tianjin Medical University, Tianjin 300052, China
Supported by the National Natural Science Foundation of China, No. 30171198
Correspondence to: Dr. Qing-Hui Qi, Department of Surgery, General Hospital of Tianjin Medical University, Tianjin 300052, China. qiqinghui@tpt.tj.cn
Received: 2003-01-12 Accepted: 2003-07-15

Abstract

AIM: To investigate whether emodin has any effects on circular smooth muscle cells of rat colon and to examine the underlying mechanisms.

METHODS: Smooth muscle cells were isolated from the circular muscle layers of Wistar rat colon and cell length was measured by computerized image micrometry. Intracellular Ca^{2+} ($[Ca^{2+}]_i$) signaling was studied in smooth muscle cells using Ca^{2+} indicator Fluo-3 AM by laser-scanning confocal microscopy.

RESULTS: Emodin dose-dependently induced smooth muscle cells contraction, caused a large, transient increase in $[Ca^{2+}]_i$ followed by a sustained elevation in $[Ca^{2+}]_i$. Emodin-induced increase in $[Ca^{2+}]_i$ was unaffected by nifedipine, a voltage-gated Ca^{2+} -channel antagonist, and the sustained phase of rising of $[Ca^{2+}]_i$ was attenuated by extracellular Ca^{2+} removal with EGTA solution. Inhibiting Ca^{2+} release from ryanodine-sensitive intracellular stores by ryanodine reduced the peak increase in $[Ca^{2+}]_i$. However, the application of heparin, an antagonist of IP_3R , nearly abolished the peak increase in $[Ca^{2+}]_i$ induced by emodin.

CONCLUSION: Emodin has direct excitatory effect on circular smooth muscle cells from rat colon and its effect is mediated through Ca^{2+} -dependent pathways. Furthermore, emodin-induced peak $[Ca^{2+}]_i$ increase may be attributable to the Ca^{2+} release from IP_3 sensitive stores, which promotes Ca^{2+} release from ryanodine-sensitive stores through

CICR mechanism. Additionally, Ca^{2+} influx from extracellular medium contributes to the sustained increase in $[Ca^{2+}]_i$.

Ma T, Qi QH, Jian X, Fei NX. Effects of emodin on intracellular Ca^{2+} signaling in the circular smooth muscle cells of rat colon. Shijie Huaren Xiaohua Zazhi 2003;11(11):1699-1702

摘要

目的: 观测大黄素对Wistar大鼠结肠环行平滑肌细胞胞质游离钙水平($[Ca^{2+}]_i$)的影响, 并探讨机制.

方法: 酶解法分离结肠环行平滑肌细胞, 分别采用图像分析系统和激光扫描共聚焦显微镜观测细胞长度和 $[Ca^{2+}]_i$ 的变化.

结果: 大黄素可收缩大鼠结肠环行平滑肌细胞, 也可浓度依赖性升高 $[Ca^{2+}]_i$; 大黄素作用后, $[Ca^{2+}]_i$ 迅速升高达到峰值($[Ca^{2+}]_{iPeak}$), 而后下降至平台期($[Ca^{2+}]_{iSustain}$, 仍高于静息值). Nifedipine对大黄素的钙动员作用没有明显影响, EGTA明显降低 $[Ca^{2+}]_{iSustain}$. Heparin几乎完全抑制 $[Ca^{2+}]_{iPeak}$, Ryanodine明显抑制 $[Ca^{2+}]_{iPeak}$.

结论: 大黄素通过升高 $[Ca^{2+}]_i$ 收缩结肠环行平滑肌细胞. 大黄素升高 $[Ca^{2+}]_i$ 的机制为: 活化IP3受体释放细胞内钙, 进一步以CICR方式促进RYR受体开放, 共同作用升高 $[Ca^{2+}]_i$, 细胞外钙内流参与平台期 $[Ca^{2+}]_i$ 的升高.

马涛, 齐清会, 简序, 费乃昕. 大黄素对大鼠结肠环行平滑肌细胞 $[Ca^{2+}]_i$ 的影响. 世界华人消化杂志 2003;11(11):1699-1702

<http://www.wjgnet.com/1009-3079/11/1699.asp>

0 引言

大黄素属于蒽醌类化合物, 广泛存在于大黄、番泻叶等中药的根、皮等部位^[1-3]. 靳珠华 et al^[4]证实大黄素可促进离体肠道平滑肌条收缩, 杨文修 et al^[5, 6]发现大黄素可升高豚鼠结肠带平滑肌细胞 $[Ca^{2+}]_i$. 但大黄素对胃肠道平滑肌细胞是否有直接收缩作用及其发挥作用的机制尚有待于研究. 因此, 我们观测大黄素对大鼠结肠环行平滑肌细胞长度及 $[Ca^{2+}]_i$ 的影响, 探讨大黄素的作用机制.

1 材料和方法

1.1 材料 大黄素(emodin)、HEPES、DMEM、Ⅱ型胶原酶、大豆胰蛋白酶抑制剂、saponin、heparin、ryanodine、nifedipine 等购自Sigma, Fluo-3 AM 购自

Molecular probes, 余试剂均为国产分析纯购自天津市翰洋生物公司。称取适量大黄素, 先用 0.01 mol/L NaOH 溶解, 然后用 DMEM 培养基稀释至 1 $\mu\text{mol}/\text{L}$, 调整 pH 值为 7.4, 无菌过滤分装, 4 $^{\circ}\text{C}$ 冰箱保存, 使用前稀释至相应浓度。

1.2 方法 (1)结肠环行平滑肌细胞分离: 取 Wistar 大鼠远端结肠约 5 cm, 刮去黏膜, 解剖显微镜下剥离环行肌, 将肌组织剪成约 1-2 mm^3 , 置于 10 mL 含 1 g/L II 型胶原酶、0.1 g/L 大豆胰蛋白酶抑制剂的消化液中 37 $^{\circ}\text{C}$ 连续孵育 1 h, 30 min 时更换消化液 1 次, 50 目筛网过筛, 收集部分消化的组织用不含酶的 HEPES 缓冲液冲洗, 然后振荡 20 min, 30 次/min, 收集自由脱落的细胞供实验用。台盼蓝染色确定细胞活力达 90% 以上符合实验要求。将细胞浓度调整为 $5 \times 10^8/\text{L}$ 。(2)平滑肌细胞收缩的测定: 取 0.25 mL 细胞悬液, 加入相应浓度的实验试剂。1 min 后加入 25 g/L 戊二醛终止反应。应用 Cmais2000 图像分析系统随机测定 50 个细胞的长度。收缩反应的计算公式为: 收缩变化百分数 = (用药组平均长度 - 对照组平均长度) / 对照组平均长度 $\times 100\%$ 。(3)平滑肌细胞 $[\text{Ca}^{2+}]_i$ 测定: 将平滑肌细胞接种于预包被 L- 多聚赖氨酸的盖玻片, 离心促进细胞贴壁, 37 $^{\circ}\text{C}$ 温箱孵育 60 min 后, 加入终浓度 7.5 $\mu\text{mol}/\text{L}$ Fluo-3 AM 和 0.2 g/L F-127 的 HEPES 缓冲液。37 $^{\circ}\text{C}$ 孵育 30 min, HEPES 缓冲液冲洗 3 次, 37 $^{\circ}\text{C}$ 继续孵育 20 min。装入 Chamber Slide 上机检测。间隔 10 s 收集荧光强度图像, 观测 200 s, 于 60 s 末加入大黄素。 $[\text{Ca}^{2+}]_i$ 变化以荧光强度相对值表示。其中峰值 $[\text{Ca}^{2+}]_i ([\text{Ca}^{2+}]_{i\text{Peak}})$ 由包括峰值在内的 3 时间点的测定值确定, 平台期 $[\text{Ca}^{2+}]_i ([\text{Ca}^{2+}]_{i\text{Sustain}})$ 由平台期 3 个时间点的测定值确定。

统计学处理 数据均以 $\bar{x} \pm s$ 表示, 采用 Student t test 方法进行统计处理。 $P < 0.05$ 提示差别存在显著性。

2 结果

2.1 大黄素对结肠环行平滑肌细胞长度和 $[\text{Ca}^{2+}]_i$ 的影响 倒置显微镜下, 分离的结肠环行平滑肌细胞呈梭形, 长度各异, 有的处于舒张状态, 有的则处于不同的收缩状态下。细胞的长度 54-129 μm , 平均 81.3 μm (图 1)。使用 5, 10, 25, 50, 100 $\mu\text{mol}/\text{L}$ 大黄素作用后, 分别测定 50 个平滑肌细胞长度, 并计算收缩百分数, 结果表明大黄素可收缩平滑肌细胞, 并表现为浓度依赖关系, 50 $\mu\text{mol}/\text{L}$ 浓度时收缩反应达峰值 ($17.3 \pm 3.5\%$) (图 2)。静息状态下, 平滑肌细胞胞质的平均荧光强度值 (FI) 为 54.2 ± 6.2 。5, 10, 25, 50, 100 $\mu\text{mol}/\text{L}$ 大黄素均可升高胞质 $[\text{Ca}^{2+}]_i$, 峰值平均荧光强度值分别为 62.5 ± 5.6 , 79.3 ± 6.3 , 89.6 ± 5.5 , 142.3 ± 8.6 , 133.5 ± 4.8 (图 3)。动态观测 50 $\mu\text{mol}/\text{L}$ 大黄素对 $[\text{Ca}^{2+}]_i$ 的影响, 可发现大黄素作用后 $[\text{Ca}^{2+}]_i$ 短时间内迅速升高达到峰值, 后下降至平台期 (图 4)。

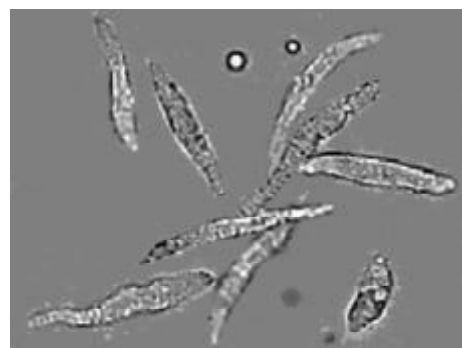


图 1 游离平滑肌细胞呈梭形, 长度不一。

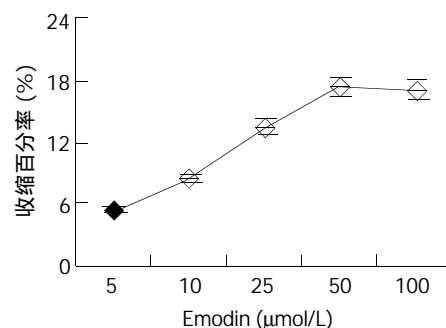


图 2 大黄素收缩大鼠结肠环形平滑肌细胞的量效曲线。

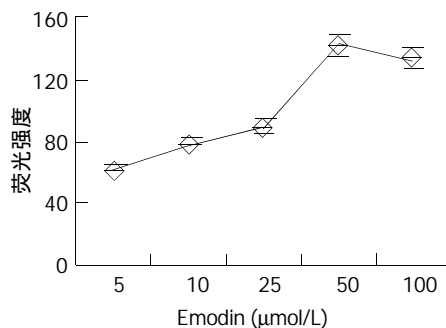


图 3 大黄素影响大鼠结肠环形平滑肌细胞 $[\text{Ca}^{2+}]_i$ 的量效曲线。

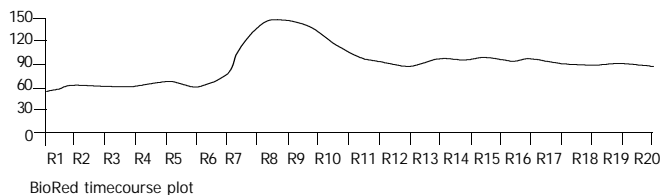


图 4 大黄素影响大鼠结肠环形平滑肌细胞 $[\text{Ca}^{2+}]_i$ 的动态图。

2.2 Nifedipine 和 EGTA 对大黄素钙动员的影响 Nifedipine (L型钙通道抑制剂, 1 $\mu\text{mol}/\text{L}$) 作用 10 min 后, 加入 50 $\mu\text{mol}/\text{L}$ 大黄素, 观测 $[\text{Ca}^{2+}]_i$ 的动态变化。结果表明 Nifedipine 对大黄素引起的 $[\text{Ca}^{2+}]_{i\text{Peak}}$ 和 $[\text{Ca}^{2+}]_{i\text{Sustain}}$ 均无明显影响。EGTA(钙螯合剂, 2 mmol/L) 对大黄素作用的 $[\text{Ca}^{2+}]_{i\text{Peak}}$ 也没有明显影响, 但降低了 $[\text{Ca}^{2+}]_{i\text{Sustain}}$ 71.2 ± 6.5 ($P < 0.05$, 图 5)。

2.3. Heparin 和 ryanodine 对大黄素钙动员的影响 因为 heparin 无法穿透细胞膜, 因此在加用 heparin 前, 用 saponin 处理细胞, 使 heparin 可进入细胞内。Heparin (IP3 受体拮抗剂, 10 mg/L) 和 ryanodine (RYR 受体拮抗剂,

0.1 $\mu\text{mol/L}$ 与平滑肌细胞孵育30 min后, 加入50 $\mu\text{mol/L}$ 大黄素, 观测 $[Ca^{2+}]_i$ 的动态变化。结果表明 heparine 作用后 $[Ca^{2+}]_{i\text{Peak}}$ (81.3 \pm 6.5)明显降低, 下降达42.9% ($P < 0.05$), ryanodine 作用后 $[Ca^{2+}]_{i\text{Peak}}$ (107.5 \pm 7.7)也明显降低, 下降达24.4% ($P < 0.05$, 图6)。

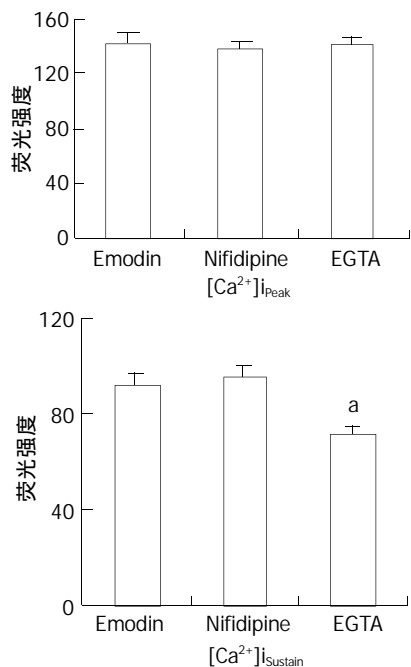


图5 Nifedipine 和 EGTA 对大黄素钙作用的影响 ($^aP < 0.05$)。

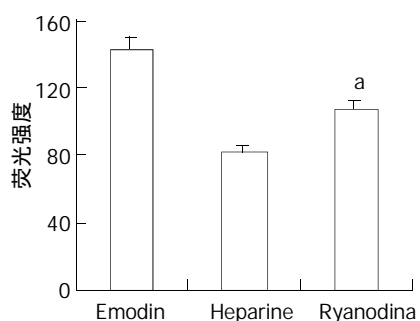


图6 Heparine 和 ryanodine 对大黄素作用 $[Ca^{2+}]_{i\text{Peak}}$ 的影响。 $^aP < 0.05$ vs 大黄素组相比; $^bP < 0.01$ vs Ryanodine 组相比。

3 讨论

研究证实, 大黄素具有促进胃肠运动的作用^[3-6]。我们首次从细胞水平证实大黄素可直接作用于结肠环行平滑肌细胞, 引起收缩。表明大黄素的促动力作用可通过肌原性作用实现。 $[Ca^{2+}]_i$ 是决定平滑肌细胞收缩或舒张的关键性因素, $[Ca^{2+}]_i$ 升高后与 CaM 结合, 活化 Ca^{2+}/CaM 依赖性 MLCK 收缩平滑肌细胞^[7-11]。靳珠华 et al^[4]通过肌条收縮试验证实大黄素的促动力作用与钙离子有关。杨文修 et al^[3, 5, 6]发现大黄素可升高豚鼠结肠带平滑肌细胞 $[Ca^{2+}]_i$ 。我们的实验也证实大黄素可剂量依赖性升高大鼠结肠环行平滑肌细胞的 $[Ca^{2+}]_i$ 。进一步观测 50 $\mu\text{mol/L}$ 的大黄素对 $[Ca^{2+}]_i$ 的动态影响, 发现大黄素作用后, $[Ca^{2+}]_i$ 迅速升高达到峰值, 并持续维持于较高的水平(图4)。

$[Ca^{2+}]_i$ 的调节是一个复杂的调节体系, $[Ca^{2+}]_i$ 的升

高可源于细胞外钙内流和/或细胞内钙释放^[7-11]。细胞外钙通过细胞膜上的钙通道进入细胞内, 其中L-钙通道是细胞外钙内流的主要通道^[12-15]。Nifedipine 是细胞膜L-钙通道的特异性抑制剂, 可抑制经由L-钙通道的细胞外钙内流。在我们的实验中, 使用 nifedipine 抑制 L-钙通道的活性对大黄素的钙动员作用没有影响, 表明 L-钙通道不参与大黄素的钙动员作用; EGTA 是一种钙螯合剂, 可结合游离的钙离子。使用 EGTA 融合细胞外钙后, 使 $[Ca^{2+}]_{i\text{Sustain}}$ 明显降低, 表明在 $[Ca^{2+}]_i$ 升高的平台期有细胞外钙内流, 但钙内流的通道还有待于进一步研究。

肌质网是平滑肌细胞的细胞内钙贮存库, 已证实肌质网上存在着两种钙释放通道: IP3受体和 RYR受体^[16-19]。研究表明IP3受体开放依赖于IP3产生并与之结合^[16-18], 而 RYR受体的激动剂尚不清楚, 但已证实 RYR受体可通过钙诱导钙释放(CICR)的方式参与 $[Ca^{2+}]_i$ 的调节^[19, 20-25], 所谓 CICR 是指细胞外钙内流或 IP3受体开放释放钙可激活 RYR受体开放进一步释放细胞内钙^[26-30]。我们使用的 ryanodine 和 heparine 分别是 RYR受体和 IP3受体的特异性拮抗剂, 可特异性抑制 RYR受体和 IP3受体的活性。我们的结果表明, 使用 ryanodine 抑制 RYR受体活性, IP3受体功能正常时, $[Ca^{2+}]_{i\text{Peak}}$ 明显降低; 而抑制 IP3受体活性, RYR受体功能正常时, $[Ca^{2+}]_{i\text{Peak}}$ 几乎被完全抑制, 与 ryanodine 作用时 $[Ca^{2+}]_i$ 相比, $[Ca^{2+}]_{i\text{Peak}}$ 也明显降低($P < 0.05$)。表明 IP3受体介导的钙释放可能是大黄素钙动员作用的关键, 而 RYR受体的激活依赖于 IP3受体的开放。因此我们推测大黄素作用后首先通过 IP3受体开放释放细胞内钙, 进一步以 CICR 方式激活 RYR受体, 共同作用升高 $[Ca^{2+}]_i$ 。

总之, 我们的实验证实大黄素通过钙依赖性机制收缩大鼠结肠环行平滑肌细胞。大黄素升高 $[Ca^{2+}]_i$ 的机制为: 活化 IP3受体释放细胞内钙, 进一步以 CICR 方式促进 RYR受体活化, 共同作用升高 $[Ca^{2+}]_i$, 在 $[Ca^{2+}]_i$ 升高的平台期有细胞外钙内流, 但钙内流的通道有待于进一步研究。

4 参考文献:

- Lee HZ. Effects and mechanisms of emodin on cell death in human lung squamous cell carcinoma. *Br J Pharmacol* 2001; 134:11-20
- 祁虹. 大黄素的抗炎作用. 中草药 1999;30:522-524
- 杨文修, 王津, 李俊英, 余奕, 许文胜. 大黄素升高豚鼠结肠带细胞 $[Ca^{2+}]_i$ 的特征和 GDP 的抑制作用. 生物物理学报 2001;17: 165-169
- 靳珠华, 马德录, 林秀珍, 李锡铭. 大黄素对豚鼠离体肠管作用的影响. 中国中西医结合杂志 1994;14:429-430
- 李俊英, 杨文修, 胡文卫, 王津, 金正根, 王新宇, 许文胜. 大黄素对豚鼠结肠带平滑肌细胞钾通道活性的影响. 药学学报 1998; 33:321-325
- 杨文修, 于海鹰, 许文胜, 于琦, 李俊英. 大黄素对肠道平滑肌细胞作用的离子机制. 基础医学与临床 1999;11:67
- Sanders KM, Invited review. Mechanisms of calcium handling in smooth muscles. *J Appl Physiol* 2001;91:1438-1449
- Jacques D, Sader S, El-Bizri N, Chouffani S, Hassan G, Shbaklo

- H. Neuropeptide Y induced increase of cytosolic and nuclear Ca²⁺ in heart and vascular smooth muscle cells. *Can J Physiol Pharmacol* 2000;78:162-172
- 9 Bolton TB, Prestwich SA, Zholos AV, Gordienko DV. Excitation-contraction coupling in gastrointestinal and other smooth muscles. *Annu Rev Physiol* 1999;61:85-115
- 10 Makhlouf GM, Murthy KS. Signal transduction in gastrointestinal smooth muscle. *Cell Signal* 1997;9:269-276
- 11 Fan J, Byron KL. Ca²⁺ signalling in rat vascular smooth muscle cells: a role for protein kinase C at physiological vasoconstrictor concentrations of vasopressin. *J Physiol* 2000;524(Pt 3):821-831
- 12 Poteser M, Wakabayashi I, Rosker C, Teubl M, Schindl R, Soldatov NM, Romanin C, Groschner K. Crosstalk between voltage-independent Ca²⁺ channels and L-type Ca²⁺ channels in A7r5 vascular smooth muscle cells at elevated intracellular pH: evidence for functional coupling between L-type Ca²⁺ channels and a 2-APB-sensitive cation channel. *Circ Res* 2003;92:888-896
- 13 Furutani H, Zhang XF, Iwamuro Y, Lee K, Okamoto Y, Takikawa O, Fukao M, Masaki T, Miwa S. Ca²⁺ entry channels involved in contractions of rat aorta induced by endothelin-1, noradrenaline, and vasopressin. *J Cardiovasc Pharmacol* 2002;40:265-276
- 14 Elble RC, Ji G, Nehrke K, DeBiasio J, Kingsley PD, Kotlikoff MI, Pauli BU. Molecular and functional characterization of a murine calcium-activated chloride channel expressed in smooth muscle. *J Biol Chem* 2002;277:18586-18591
- 15 Amberg GC, Koh SD, Perrino BA, Hatton WJ, Sanders KM. Regulation of A-type potassium channels in murine colonic myocytes by Phosphatase activity. *Am J Physiol Cell Physiol* 2001;281:2020-2028
- 16 White C, McGeown JG. Regulation of basal intracellular calcium concentration by the sarcoplasmic reticulum in myocytes from the rat gastric antrum. *J Physiol* 2000;529(Pt 2):395-404
- 17 Carl A, Lee HK, Sanders KM. Regulation of ion channels in smooth muscles by calcium. *Am J Physiol* 1996;271(1 Pt 1):C9-34
- 18 McCarron JG, Flynn ER, Bradley KN, Muir TC. Two Ca²⁺ entry pathways mediate InsP₃-sensitive store refilling in guinea-pig colonic smooth muscle. *J Physiol* 2000;525(Pt 1):113-124
- 19 Takeuchi M, Watanabe J, Horiguchi S, Karibe A, Katoh H, Baba S, Shinozaki T, Miura M, Fukuchi M, Kagaya Y, Shirato K. Interaction between L-type Ca²⁺ channels and sarcoplasmic reticulum in the regulation of vascular tone in isolated rat small arteries. *J Cardiovasc Pharmacol* 2000;36:548-554
- 20 van Helden DF, Imtiaz MS, Nurgaliyeva K, Von der Weid P, Dosen PJ. Role of calcium stores and membrane voltage in the generation of slow wave action potentials in guinea-pig gastric pylorus. *J Physiol* 2000;524(Pt 1):245-265
- 21 Flynn ER, Bradley KN, Muir TC, McCarron JG. Functionally separate intracellular Ca²⁺ stores in smooth muscle. *J Biol Chem* 2001;276:36411-36418
- 22 Kotlikoff ML, Wang YX, Xin HB, Ji G. Calcium release by ryanodine receptors in smooth muscle. *Novartis Found Symp* 2002;246:108-119
- 23 Ji G, Barsotti RJ, Feldman ME, Kotlikoff MI. Stretch-induced calcium release in smooth muscle. *J Gen Physiol* 2002;119:533-544
- 24 Collier ML, Ji G, Wang Y, Kotlikoff MI. Calcium-induced calcium release in smooth muscle: loose coupling between the action potential and calcium release. *J Gen Physiol* 2000;115:653-662
- 25 Henkel CC, Asbun J, Ceballos G, del Carmen Castillo M, Castillo EF. Relationship between extra and intracellular sources of calcium and the contractile effect of thiopental in rat aorta. *Can J Physiol Pharmacol* 2001;79:407-414
- 26 Somlyo AP, Somlyo AV. The sarcoplasmic reticulum: then and now. *Novartis Found Symp* 2002;246:258-268
- 27 Chambers P, Neal DE, Gillespie JI. Ryanodine receptors in human bladder smooth muscle. *Exp Physiol* 1999;84:41-46
- 28 Hisamitsu T, Ohata H, Kawanishi T, Iwamoto T, Shigekawa M, Amano H, Yamada S, Momose K. A mechanism of Ca²⁺ release from Ca²⁺ stores coupling to the Na⁺/Ca²⁺ exchanger in cultured smooth muscle cells. *Life Sci* 2001;69:2775-2787
- 29 Mohanty MJ, Li X. Stretch-induced Ca(2+) release via an IP(3)-insensitive Ca(2+) channel. *Am J Physiol Cell Physiol* 2002;283:456-462
- 30 Zhang Y, Paterson WG. Role of Ca²⁺-activated Cl⁻ channels and MLCK in slow IIP in opossum esophageal smooth muscle. *Am J Physiol Gastrointest Liver Physiol* 2002;283:104-114



Published by **Baishideng Publishing Group Inc**
7901 Stoneridge Drive, Suite 501, Pleasanton,
CA 94588, USA
Fax: +1-925-223-8242
Telephone: +1-925-223-8243
E-mail: bpgoffice@wjgnet.com
<http://www.wjgnet.com>



ISSN 1009-3079



11>